

Measurement of single transverse-spin asymmetry of inclusive charged particles by PHENIX BBC in polarized pp collision at $\sqrt{s} = 200$ GeV

谷田 聖 (理研)

内容

- イントロダクション
- RHIC spin 実験と PHENIX BBC
- 解析
 - Bunch Fitting 法
- 結果
- まとめと展望

for the PHENIX collaboration

日本物理学会講演
2003年3月29日@仙台



University of São Paulo, São Paulo, Brazil

Academia Sinica, Taipei 11529, China

China Institute of Atomic Energy (CIAE), Beijing, P. R. China

Laboratoire de Physique Corpusculaire (LPC), Universite de Clermont-Ferrand, F-63170

Urbiere, Clermont-Ferrand, France

Saclay, CEA Saclay, Bat. 703, F-91191, Gif-sur-Yvette, France

Orsay, Universite Paris Sud, CNRS-IN2P3, BP1, F-91406, Orsay, France

NHE-Palaiseau, Ecole Polytechnique, CNRS-IN2P3, Route de Saclay, F-91128,

Palaiseau, France

BATECH, Ecole des Mines at Nantes, F-44307 Nantes, France

University of Muenster, Muenster, Germany

Varanasi Hindu University, Banaras, India

Bhabha Atomic Research Centre (BARC), Bombay, India

Weizmann Institute, Rehovot, Israel

Center for Nuclear Study (CNS-Tokyo), University of Tokyo, Tanashi, Tokyo 188, Japan

Hiroshima University, Higashi-Hiroshima 739, Japan

K, Institute for High Energy Physics, Tsukuba, Japan

Kyoto University, Kyoto, Japan

Nagasaki Institute of Applied Science, Nagasaki-shi, Nagasaki, Japan

RIKEN, Institute for Physical and Chemical Research, Hirosawa, Wako, Japan

University of Tokyo, Bunkyo-ku, Tokyo 113, Japan

Tokyo Institute of Technology, Ohokayama, Meguro, Tokyo, Japan

University of Tsukuba, Tsukuba, Japan

Waseda University, Tokyo, Japan

Cyclotron Application Laboratory, KAERI, Seoul, South Korea

Kangnung National University, Kangnung 210-702, South Korea

Korea University, Seoul, 136-701, Korea

Myong Ji University, Yongin City 449-728, Korea

System Electronics Laboratory, Seoul National University, Seoul, South Korea

Yonsei University, Seoul 120-749, KOREA

Institute of High Energy Physics (IHEP-Protvino or Serpukhov), Protvino, Russia

Joint Institute for Nuclear Research (JINR-Dubna), Dubna, Russia

Kurchatov Institute, Moscow, Russia

PNPI, St. Petersburg Nuclear Physics Institute, Gatchina, Leningrad, Russia

Lund University, Lund, Sweden

Abilene Christian University, Abilene, Texas, USA

Brookhaven National Laboratory (BNL), Upton, NY 11973

University of California - Riverside (UCR), Riverside, CA 92521, USA

Columbia University, Nevis Laboratories, Irvington, NY 10533, USA

Florida State University (FSU), Tallahassee, FL 32306, USA

Georgia State University (GSU), Atlanta, GA, 30303, USA

Iowa State University (ISU) and Ames Laboratory, Ames, IA 50011, USA

Los Alamos National Laboratory (LANL), Los Alamos, NM 87545, USA

Lawrence Livermore National Laboratory (LLNL), Livermore, CA 94550, USA

University of New Mexico, Albuquerque, New Mexico, USA

New Mexico State University, Las Cruces, New Mexico, USA

Department of Chemistry, State University of New York at Stony Brook (USA)

Stony Brook, NY 11794, USA

Department of Physics and Astronomy, State University of New York at Stony

Brook (USB), Stony Brook, NY 11794, USA

Oak Ridge National Laboratory (ORNL), Oak Ridge, TN 37831, USA

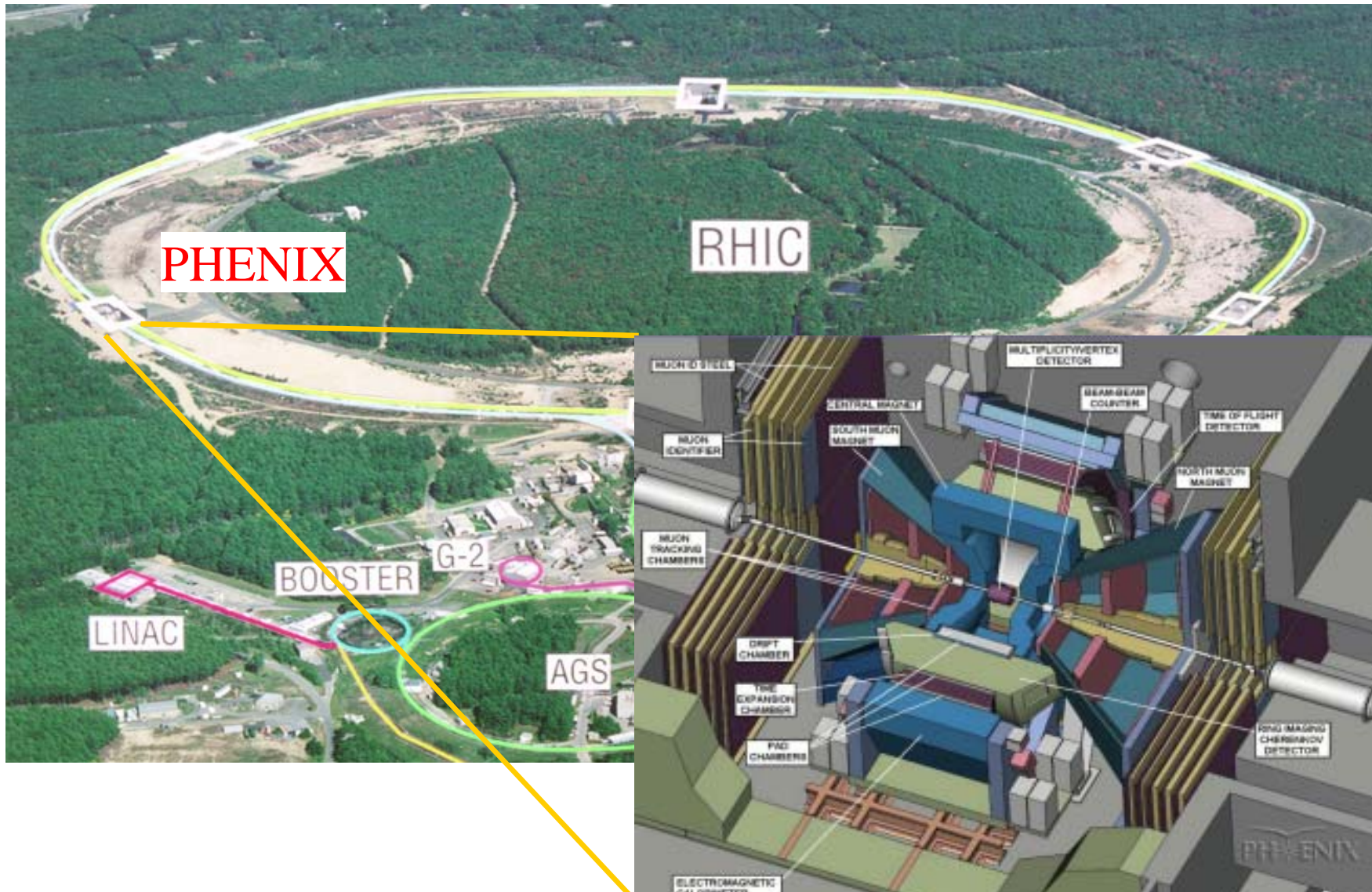
University of Tennessee (UT), Knoxville, TN 37996, USA

Vanderbilt University, Nashville, TN 37235, USA

イントロダクション

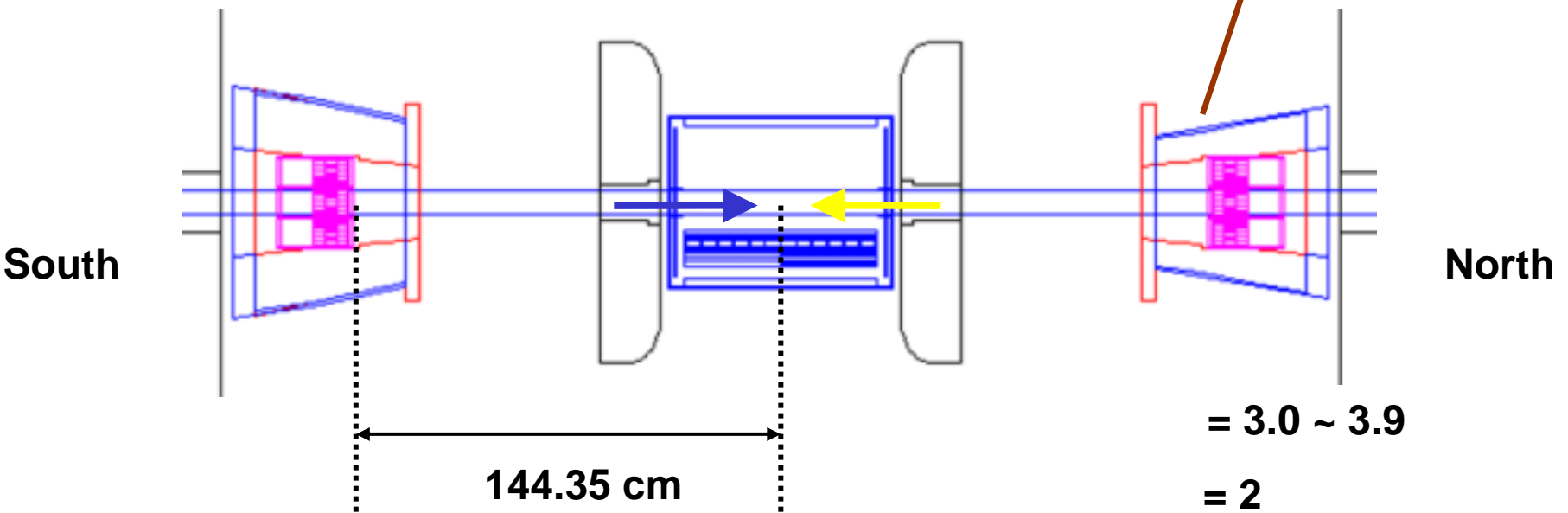
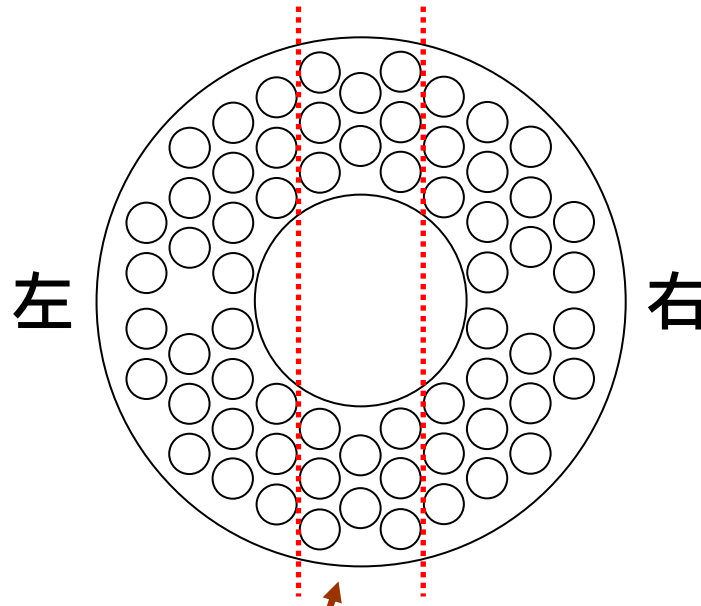
- Transverse single spin asymmetry (A_N):
 - 高エネルギー pp 衝突のメカニズムの情報
- 前方で有限の A_N の観測例:
 - FNAL E704 (π , $\sqrt{s}=20$ GeV)
 - STAR FPC (π^0 , 200 GeV)
 - LocalPol@IP12 (n , 200 GeV, 前のトーケを参照)
- BBC:
 - PHENIX で最前方 ($3 < |\eta| < 3.9$)
 - 高統計
 - BBC で inclusive (charged) particle の A_N を測定
- 偏極度計としての応用の可能性

RHIC spin 実験



PHENIX BBC

- Quartz Cherenkov カウンター
($n \sim 1.4$, 厚さ $\sim 1X_0$)
- 64 segments $\times 2$ (南北)
- 有限角補正: 0.79
- 平均 multiplicity ~ 2

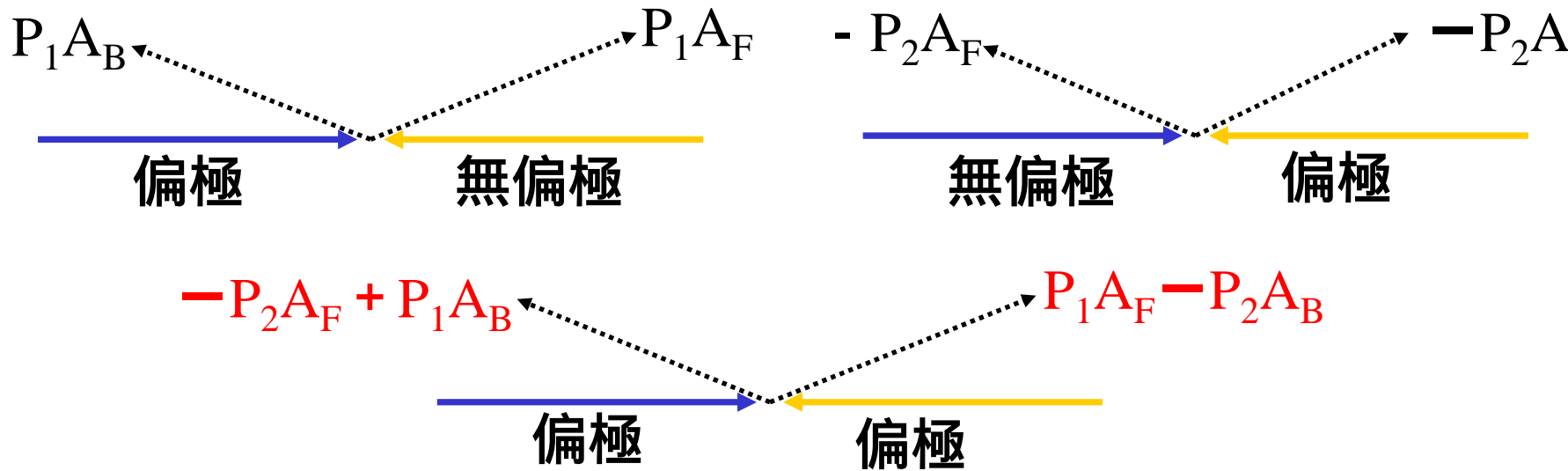


実験条件

- Bunch crossing
 - 決まったバンチの組み合わせで衝突
 - 60 crossings (うち 45 を解析に使用)
 - 偏極の向き: (+) か (-) (無偏極バンチが3つ)
基本パターン: +---++--..... と
+--+---+-..... が衝突
- Trigger: BBC LL1 (prescaled)
 - 両側のコインシデンス
 - 時間差 → z-vertex ($\pm 75\text{cm}$ 以内)
 - データサンプル ~ 17 Mイベント
 - Beam-gas バックグラウンド $< 10^{-3}$

A_N の導出

- 2つの偏極ビーム、2つの検出器
→ 2つの A_N 、2つの独立な測定



- 通常：片方を実効的に無偏極にする
統計的に損
本当に無偏極？
→ Bunch Fitting 法

Bunch Fitting 法

- crossing ごとに統計的に独立、systematic 共通のデータを取得

- $N_L(i), N_R(i)$: crossing ごとのイベント数
 $\rightarrow a_{LR}(i) = \frac{N_L(i) - N_R(i)}{N_L(i) + N_R(i)}$

- 予想されるパターンは？

$$N_L(i) = C(1+D)[1+A_F P_1(i) - A_B P_2(i)]$$
$$N_R(i) = C(1-D)[1-A_F P_1(i) + A_B P_2(i)],$$
$$\rightarrow a_{LR}(i) = \frac{D + A_F P_1(i) - A_B P_2(i)}{1 + D[A_F P_1(i) - A_B P_2(i)]} \text{ でフィット}$$

Bunch Fitting 法の利点

- バンチごとに違う偏極度を入れられる。
- fitting χ^2 による systematic error のチェックができる
- A_F と A_B の相関を自動的に正しく解く
- 統計エラーなどは sqrt formula と同じ
- 解析の手間は従来の方法とあまり変わらない。
- Note: Bunch Fitting 法を A_{LL} の解析に応用することも可能
→ 偏極 Ring collider での強力な解析手法

解析条件

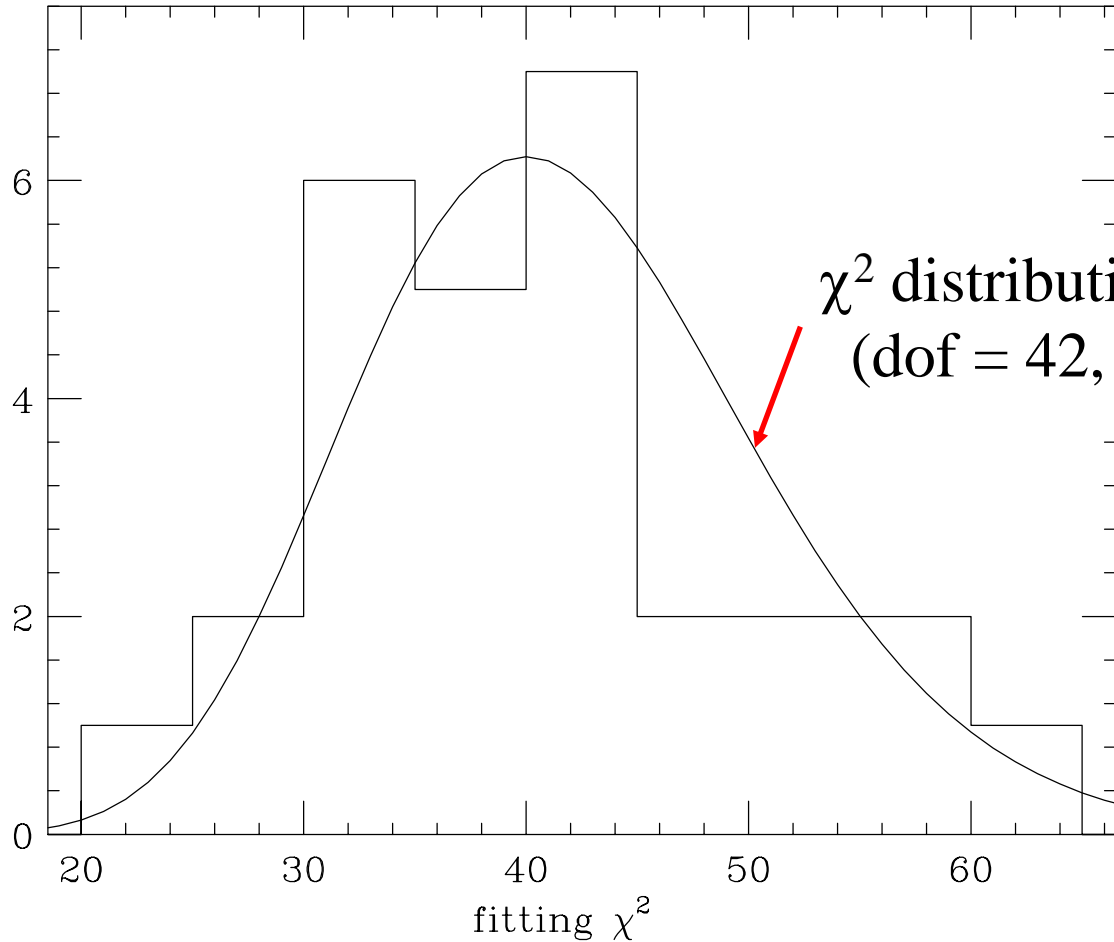
- $P_1(i) = P_1 S_1(i)$, $S_1(i) = +1$ (spin ↑) or -1 (↓)
 - 今回はバンチ毎の偏極度測定はなし
 - 典型的な偏極度: $P_1, P_2 \sim 0.15$
- Fitting parameter: $\varepsilon_F = A_F P_{1(2)}$ を A_F の代わりに使用
→ 偏極度測定のエラーを分離
- 3つのチェック
 1. $\chi^2/\text{dof} (=42)$ は 1 に近いか？
 2. 2つの独立な A_B, A_F の測定は consistent か？
 3. 上下非対称性 (Parity を破る) は 0 か？

→ OK

χ^2 分布

distribution of fitting χ^2

number of events



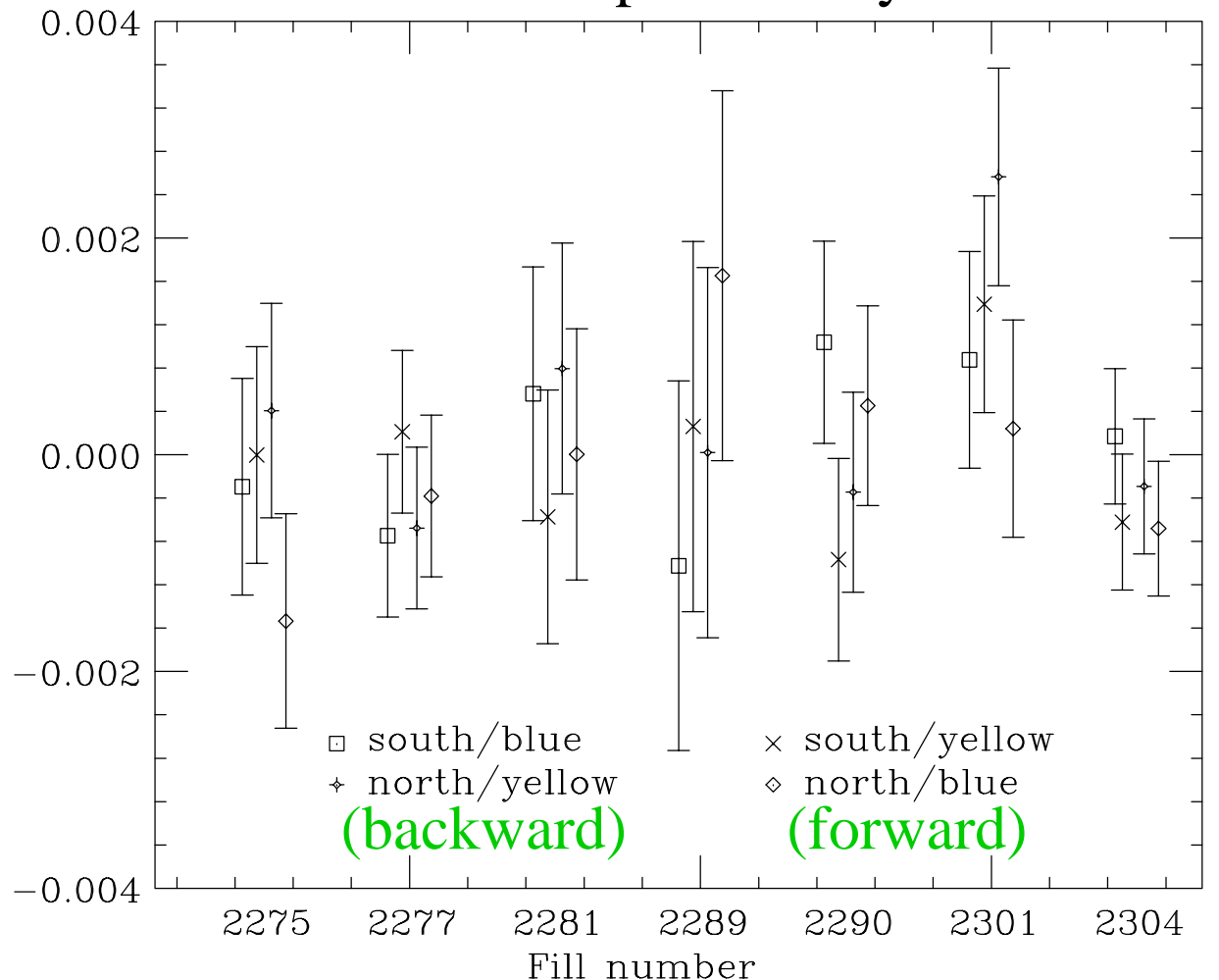
$$\bar{\chi}^2 = 40.7 \pm 1.7$$

統計的に期待
されるものと
完全に一致

→ 統計エラーが dominate

結果

PHENIX preliminary



$$A_F = 1.3 \pm 1.8$$
$$A_B = 1.2 \pm 1.8$$
$$\times 10^{-3}$$

(RHIC 偏極度計の
A_Nを0.0132と仮定)

結果は 0 と consistent

まとめと将来の展望

- $\text{sqrt}(s)=200 \text{ GeV}$ での pp 衝突における inclusive 粒子の A_N を PHENIX BBC で測定した。
- Ring 型 collider の特徴を生かして、
 A_N を計算する新しい強力な手法を開発した
- A_{LL} の解析にも応用可能
- 1.8×10^{-3} のレベルで、統計誤差が dominate の測定をすることができた。
- 結果は 0 と consistent
- LocalPol@IP12 との関連で、超前方の中性子を tag したときの BBC での A_N を求める解析が進行中。

Supporting slides

FNAL E704

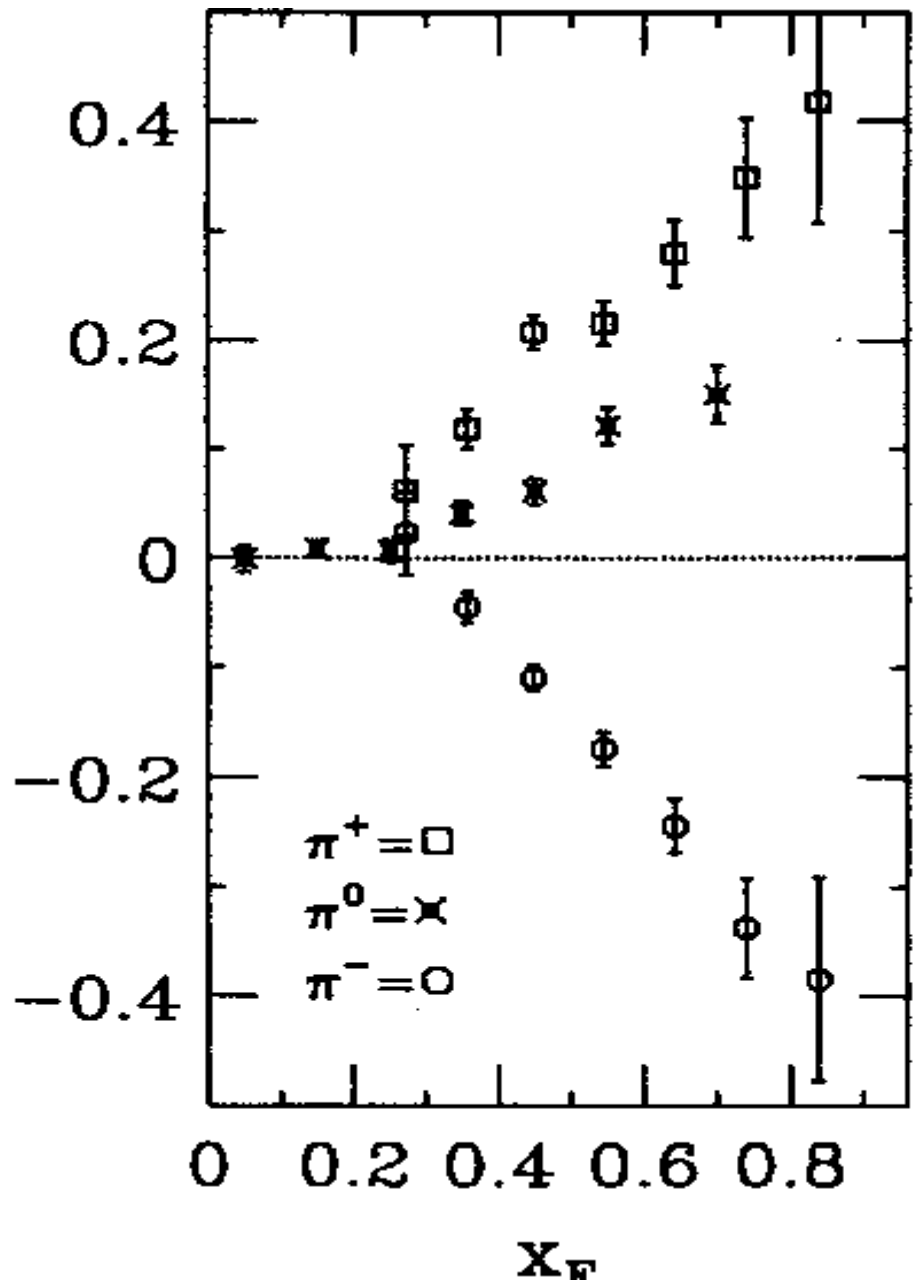
[PLB 264 (1991) 462]

@ $\sqrt{s} = 20 \text{ GeV}$

($0.5 < p_t < 2.0 \text{ GeV}/c$)

前方で大きな
 A_N を観測

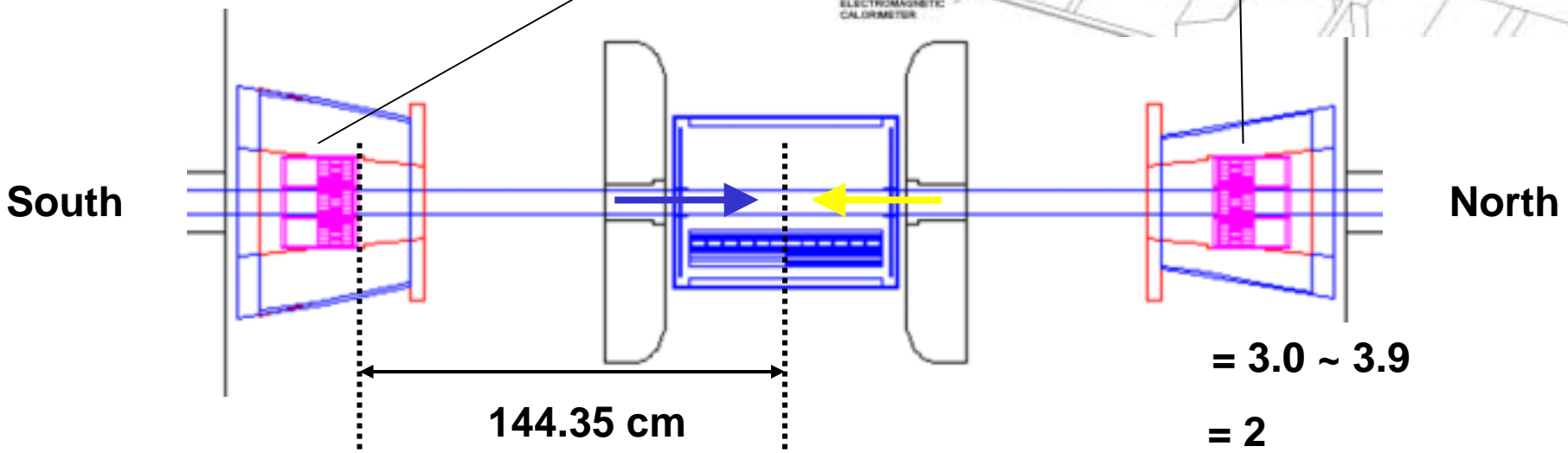
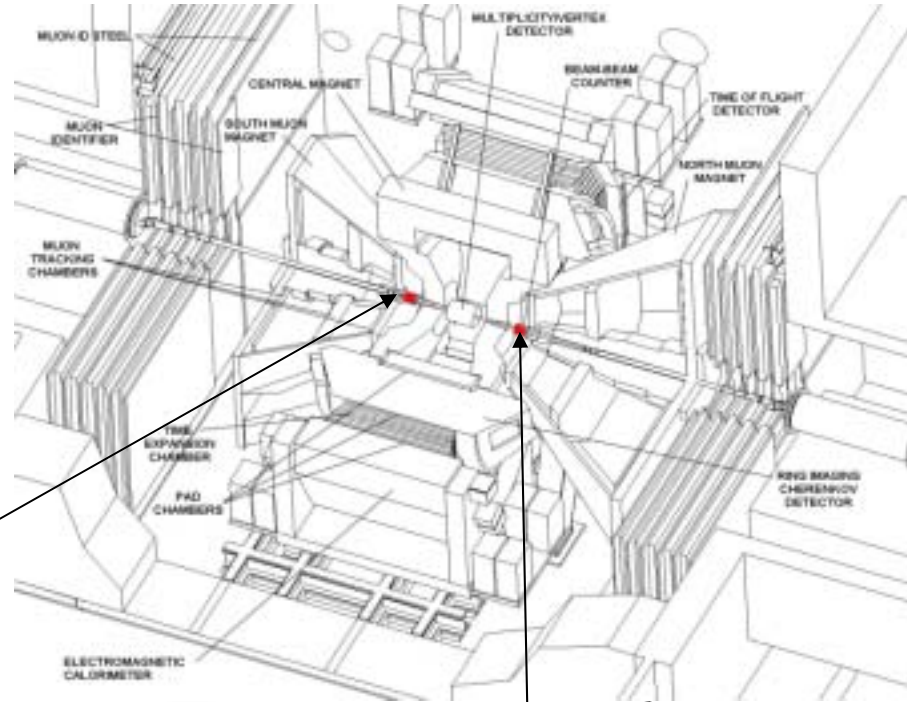
A_N



x_F

PHENIX BBC

- Cherenkov counter
(quartz, $n \sim 1.4$)
- 64 segment ずつ
- PID能力なし

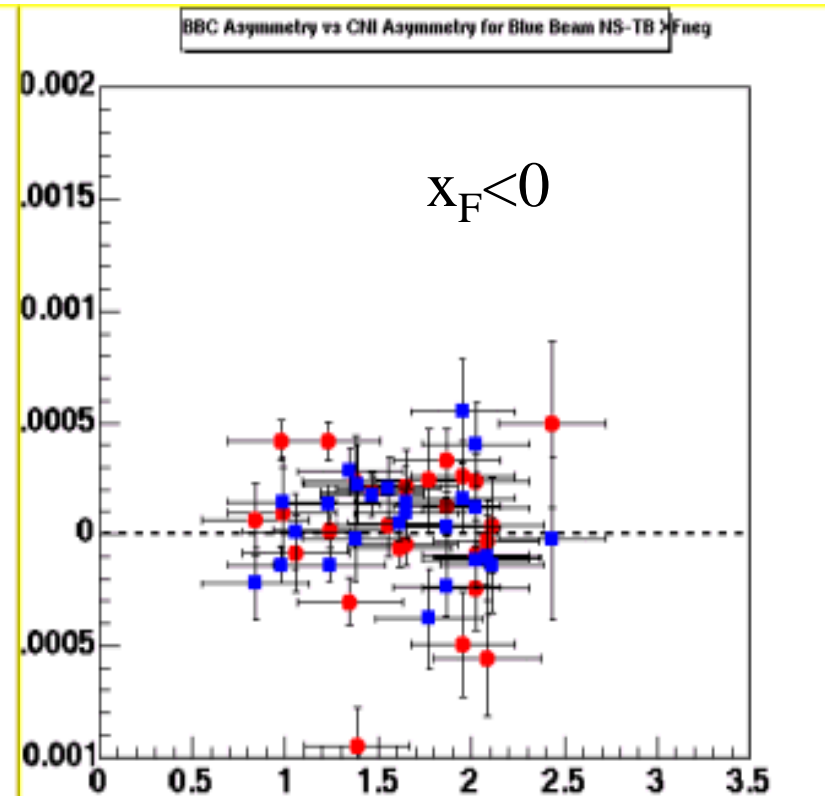
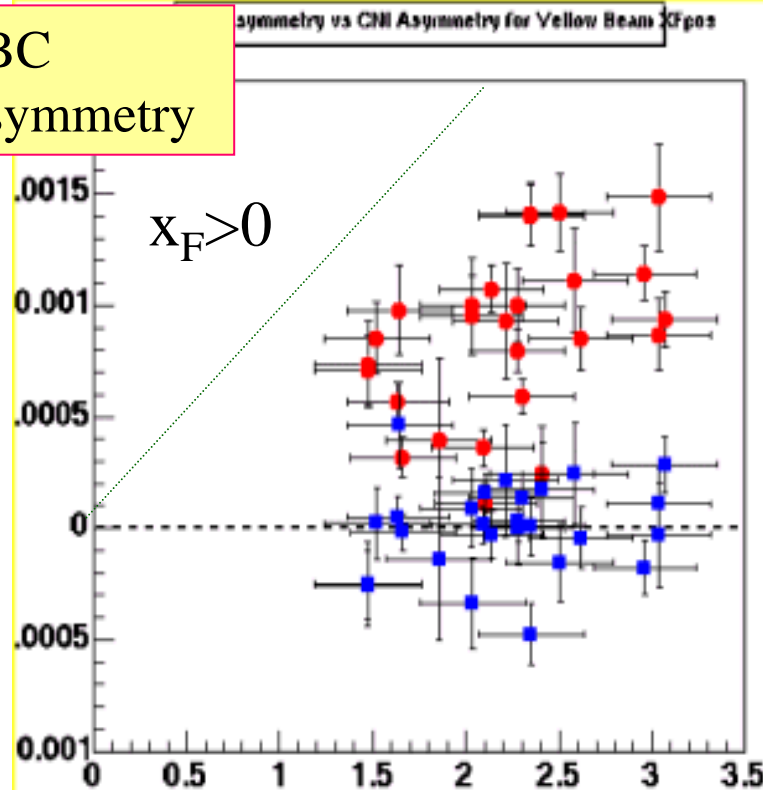


STAR BBC

π^+ と π^- でキャンセルするために小さい?

(STAR preliminary @SPIN2002)

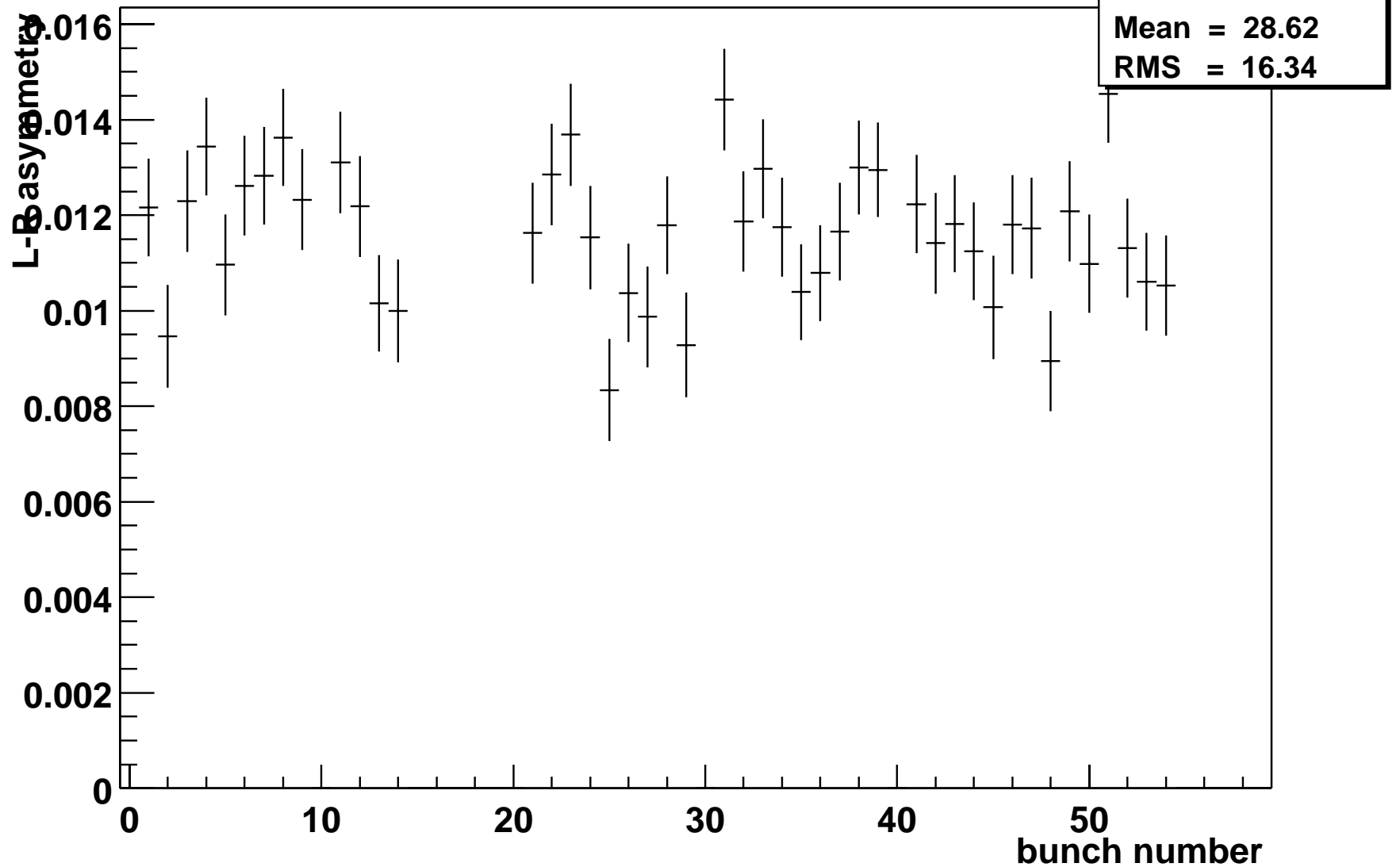
BBC
Asymmetry



Asymmetry Measured by RHIC polarimeter

crossing by crossing LR asymmetry (fill 2304, north)

dasslr02304



Coupling of A_B and A_Y

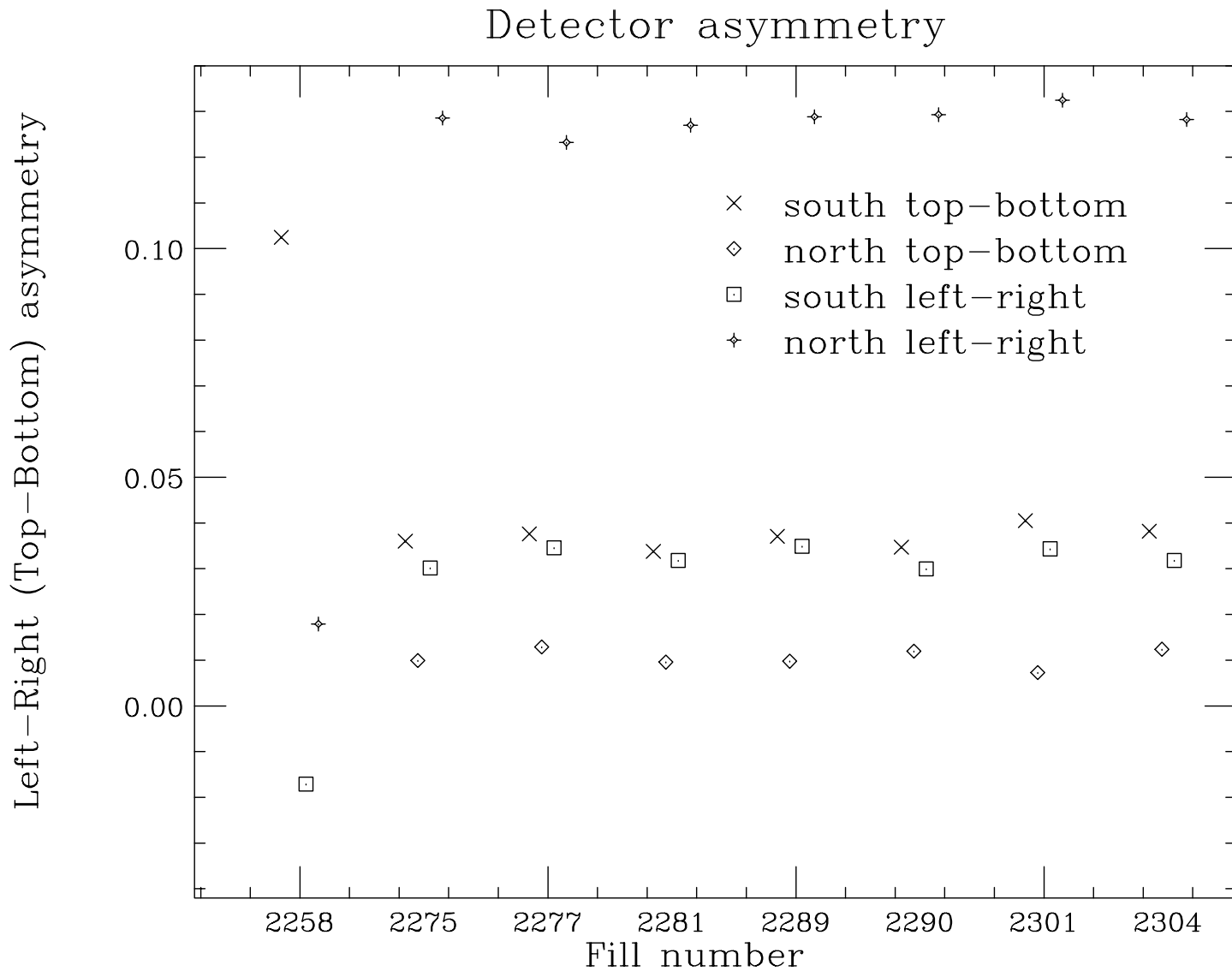
- M has off-diagonal elements (luminosity asymmetry)
→ A_B and A_Y couples
- Effects of off-diagonal elements (at leading order):

$$\Delta D \sim -(A_B \langle P_B \rangle + A_Y \langle P_Y \rangle) / \langle 1 \rangle$$

$$\Delta A_B \sim -(D \langle P_B \rangle + A_Y \langle P_B P_Y \rangle) / \langle P_B^2 \rangle$$

$$\Delta A_Y \sim -(D \langle P_Y \rangle + A_B \langle P_B P_Y \rangle) / \langle P_Y^2 \rangle$$

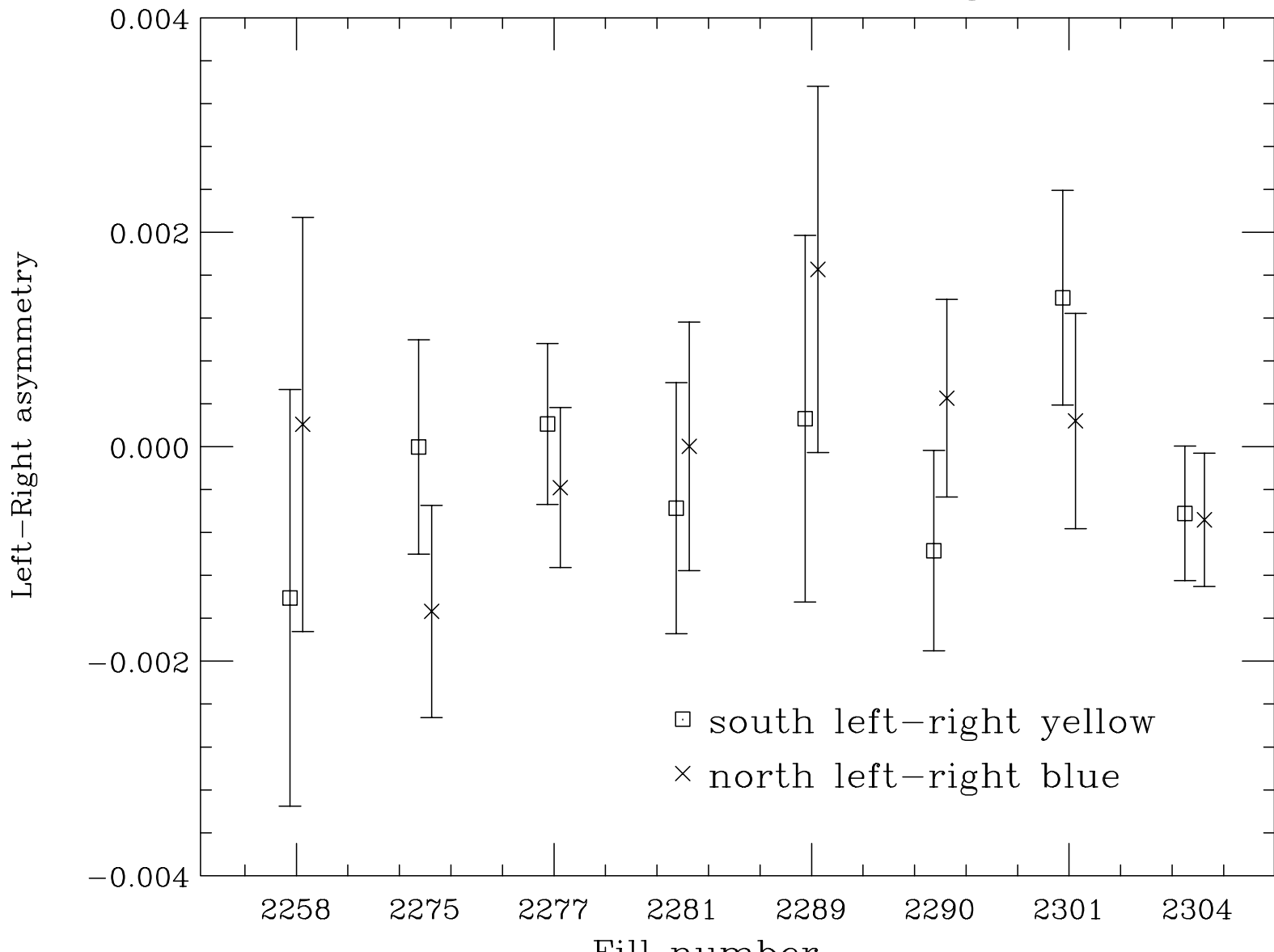
- second order
- sqrt formula does not cancel terms such as $A_B \langle P_B P_Y \rangle$
- MC simulations tell the fitting method gives correct answers, while the sqrt formula does not.



→ Detector asymmetry is reasonably small

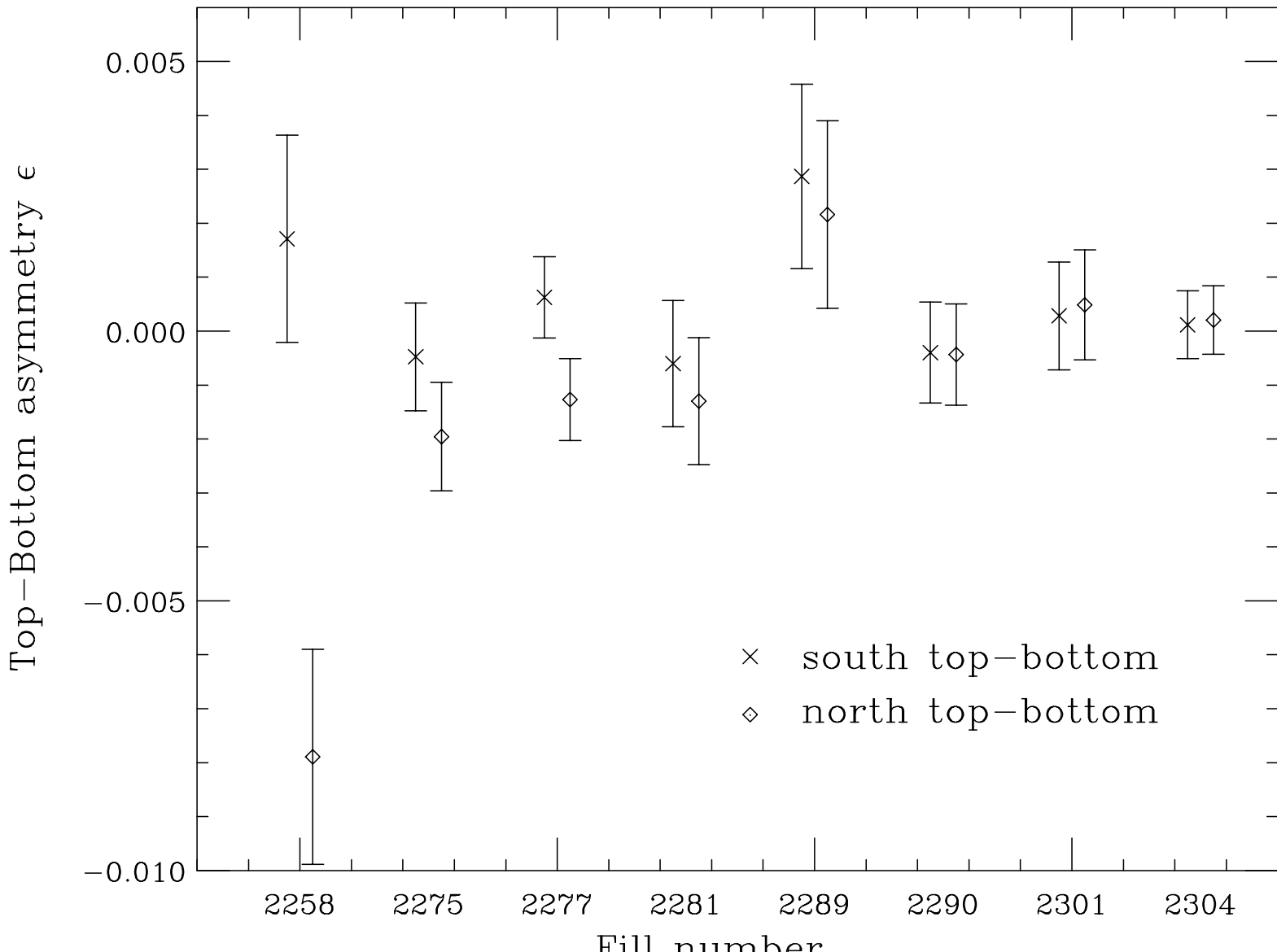
Check of ε_B (yellow)= ε_Y (blue)

Physics asymmetries ($x_F > 0$)



Top-bottom asymmetry for exclusive counting

Physics asymmetry for yellow beam



Systematic errors

- polarization measurement error:
 - unknown yet, but does not change $A/\delta A$.
 - ϵ is free from this. So, we show both A and ϵ .
- bunch-by-bunch polarization fluctuation:
 - effect is negligibly small for $A \sim 0$.
- Other systematic errors:
 - no evidence seen ($\chi^2/\text{dof} \sim 1$)
 - probably negligible compared to statistical error.
→ We don't assign any systematic error other than coming from polarization measurement.

Comparison with sqrt formula

- In the present case, bunch fitting method gave the same result as sqrt formula down to $O(10^{-5})$
- Systematic deviation of sqrt formula
 - $\Delta A_B \sim A_Y \langle P_B P_Y \rangle / \langle P_B^2 \rangle$
 - $A_Y \sim 10^{-3}$
 - $\langle P_B P_Y \rangle / \langle P_B^2 \rangle \sim 10^{-2}$
 - $\Delta A_B \sim 10^{-5}$: small enough
- Systematic deviation of linear approximation.
 - $\Delta A_B / A_B$: $D(A_B P_B + A_Y P_Y) \sim 10^{-4}$
i.e., $\Delta A_B \sim 10^{-3} \times 10^{-4} = 10^{-7}$
 - negligible

議論

- E704との比較
 - π^+ と π^- では A_N の符号が反対。
→ BBCでの測定では互いにキャンセル
 - $x_f \rightarrow$ 大で $A_N \rightarrow$ 大
 \Leftrightarrow BBCでは x_f は測定していない。
小さな x_f のイベントがdominate
→特に矛盾はない
- より前方のSTAR BBC ($3.4 < \eta < 5.0$)では、 $\epsilon \sim 0.001$ ($A_N \sim 0.005$) が観測されたというpreliminaryな報告がSPIN2002であった。
→より前方では $N(\pi^+) > N(\pi^-)$ のためか？

